

# بررسی اثر هیدروژن بر روی عملکرد کاتالیست تجاری نسل چهارم زیگلر - ناتا در پلیمرشدن دوغابی پروپیلن

زهرا سخاوت‌پور<sup>+</sup>، عباس شکروی\*

تهران، دانشگاه تربیت معلم، دانشکده شیمی، کد پستی ۱۵۷۱۹۱۴۹۱۱

نویک نادر پور

بندر امام خمینی، مرکز پژوهش پتروشیمی بندر امام خمینی، صندوق پستی ۱۳۱

**چکیده:** در این مقاله اثر هیدروژن روی پلیمرشدن پروپیلن با استفاده از یک کاتالیست تجاری نسل چهارم زیگلر - ناتا از نظر فعالیت کاتالیست، شاخص ایزوتاکتیسیتی، شاخص جریان مذاب و دمای ذوب پلیمرهای به دست آمده، بررسی می‌شود. برای تحلیل مورفولوژی از دانسیته توده، توزیع اندازه ذره‌ها و عکس‌های SEM ذره‌های پلیمر استفاده شده است. بر اساس نتیجه‌های به دست آمده، افزایش هیدروژن به محیط پلیمرشدن، فعالیت کاتالیست و شاخص ایزوتاکتیسیتی را تا یک حد مقادار بیشینه افزایش و سپس کاهش می‌دهد. دمای ذوب پلیمرهای به دست آمده نیز همین روند را نشان می‌دهد. همچنین، افزایش هیدروژن موجب افزایش شاخص جریان مذاب شده است، که نشان دهنده کاهش وزن مولکولی پلیمرها و عملکرد مناسب هیدروژن در واکنش انتقال زنجیر است. حضور هیدروژن منجر به افزایش درصد ذره‌های درشت‌تر پلیمری شده است. نمودارهای توزیع اندازه ذره‌های کاتالیست و پلیمر و قریب به تکرار را تأیید می‌کنند. تصویرهای SEM تشكیل ساختار هسته - پوسته را در همه پودرهای پلیمری به دست آمده نشان می‌دهد. افزایش سرعت پلیمرشدن در حضور هیدروژن منجر به بهبود مورفولوژی ذره‌های پلیمر شده است.

**واژه‌های کلیدی:** هیدروژن، کاتالیست زیگلر- ناتا، پلیمرشدن، واکنش انتقال به زنجیر.

**KEY WORDS:** Hydrogen, Ziegler- Natta catalyst, Polymerization, Chain transfer reaction.

## مقدمه

برای پلیمرشدن پروپیلن شامل  $MgCl_2$ ,  $TiCl_4$  به عنوان نگهدارنده و آلکیل استر دی‌اسیدهای آروماتیک به عنوان الکترون دهنده داخلی می‌باشد. این کاتالیست‌های جامد در واکنش‌های پلیمرشدن با ترکیب‌هایی چون  $AlEt_3$  (کمک کاتالیست) و آلکیل آکوکسی سیلان یا آریل آکوکسی سیلان (به عنوان دهنده خارجی)، فعال می‌شوند. هیدروژن نیز به عنوان یک عامل انتقال زنجیر، برای کنترل وزن مولکولی پلیمر در تولید صنعتی پلی‌لفین‌هایی

پلی‌پروپیلن یکی از پرمصرف‌ترین فراورده‌های پلیمری در جهان است که مصرف آن روز به روز به افزایش است. با کشف کاتالیست‌های کثوردیناسیونی توسط زیگلر و ناتا در دهه ۱۹۵۰ میلادی، پلی‌پروپیلن ایزوتاکتیک برای اولین بار تهیه شد. توسعه این کاتالیست‌های ناهمگن بسیار سریع بوده است و در حال حاضر این کاتالیست‌ها با شاخصه‌های منحصر به فردی همچون فعالیت و فضاویزگی بالا شناخته می‌شوند. نسل چهارم این کاتالیست‌ها

\*E-mail: abbas\_shockravi@yahoo.co.uk

\*\*عهده دار مکاتبات

اما افزایش فعالیت در پلیمرشدن با استفاده از کاتالیست‌های پایه‌دار در مقایسه با سیستم کاتالیستی  $TiCl_3$  بازتر بود. در این مطالعه به بررسی اثر هیدروژن در پلیمرشدن پروپیلن با استفاده از یک کاتالیست تجاری نسل چهارم زیگلر - ناتا، روی فعالیت و شاخص ایزوتاکتیسیتی، شاخص جریان مذاب و دمای ذوب پلیمرهای به دست آمده، پرداخته شده است. همچنین، مورفولوژی پلیمر از طریق عکسبرداری با میکروسکوپ الکترونی (SEM)، اندازه‌گیری دانسیته توده و توزیع اندازه ذره‌های پلیمر و کاتالیست مورد بحث قرار گرفته است.

### بخش تجربی

#### مواد

در این پژوهش از یک کاتالیست تجاری نسل چهارم زیگلر - ناتا با نام GTF2 ساخت شرکت بازل استفاده شد. این کاتالیست با غلظت  $230\text{ g/mol}$  بر لیتر از مجتمع پتروشیمی نوید زر شیمی تهیه شد. مواد مصرفی مورد استفاده از جمله هگزان خشک، تری اتیل الومینیم (TEA) ( $mol/L = 1/3$ )، گازهای پروپیلن، هیدروژن و نیتروژن از مجتمع پتروشیمی بندر امام و سیکلو هگزیل متیل‌دی متوكسی سیلان ( $(Cy)(CH_3)_2Si(CH_3O)_2$ ) به عنوان دهنده خارجی و زایلین مورد استفاده برای اندازه‌گیری شاخص ایزوتاکتیسیتی<sup>(۱)</sup> (I.I) از شرکت مرک آلمان تأمین شد. همچنین برای حذف ناخالصی‌های احتمالی موجود، گازهای هیدروژن و پروپیلن قبل از ورود به رآکتور، از ستون‌های پر شده با غربال مولکولی عبور داده شدند.

#### همپلیمرشدن دوغابی پروپیلن

پلیمرشدن دوغابی پروپیلن با نسبت مولی  $Al/Ti=200$  در محیط نرمال هگزان خشک انجام شد.

هگزان قبل از استفاده به مدت  $24$  ساعت در مولکولارسیو نگهداری شد، تا اندک ناخالصی‌های ممکن در آن حذف شود. همچنین، برای حذف اکسیژن از ظرف حاوی آن برای چند دقیقه، گاز نیتروژن در آن دمیده شد. برای پلیمرشدن دوغابی پروپیلن ابتدا  $1\text{ L}$  نرمال هگزان خشک، به رآکتور افزوده شد. سپس کمک کاتالیست  $Al(CH_2CH_3)_3$  و دهنده خارجی  $Al(Si(CH_3O)_2(Cy))$  با نسبت مولی  $Al/Si=15$  و پس از  $5$  دقیقه،  $40\text{ mg}$  کاتالیست به رآکتور تزریق شد (کاتالیست به صورت تعليق

(۱) Particle size distribution

همچون پلی‌اتیلن و پلی‌پروپیلن استفاده می‌شود. تأثیر هیدروژن به ویژه مکانیسم فعال کنندگی آن و واکنش انتقال زنجیر یکی از جنبه‌های ناشناخته در زمینه پلیمرشدن پلی‌الفین‌ها با استفاده از کاتالیست‌های زیگلر - ناتا است. یکی از پاسخ‌های مهم برای این عدم قطبیت، پیچیده بودن مکان‌های فعال روی کاتالیست‌های ناهمگن است. تأثیر هیدروژن روی عملکرد این کاتالیست‌ها به طور چشمگیری بستگی به روش تهیه کاتالیست و نوع مواد استفاده شده دارد.

تأثیر هیدروژن روی سرعت پلیمرشدن الفین‌ها با استفاده از کاتالیست‌های زیگلر - ناتا به نسبت پیچیده است. بسته به نوع کاتالیست، کمک کاتالیست و شرایط پلیمرشدن، سرعت پلیمرشدن ممکن است کاهش یا افزایش یابد، یا بدون تغییر باقی بماند. جیانینی و گوستلا [۱]، تأثیر افزایش فعالیت در پلیمرشدن پروپیلن را با استفاده از یک کاتالیست زیگلر - ناتا پایه‌دار بررسی کردند. آنها با افزایش هیدروژن به سیستم کاتالیستی  $MgCl_2/TiCl_4$  و تری اتیل آلومینیم (TEA)، افزایش معینی را در سرعت پلیمرشدن مشاهده کردند.

سوگا و شیبو<sup>(۲)</sup>، ثابت کردند که افزایش هیدروژن در طول پلیمرشدن پروپیلن با  $AlCl_3/MgCl_2$ -TEA/EB (اتیل‌بنزوآت)  $TiCl_4/EB$  منجر به کاهش فعالیت کاتالیست و فضاویژگی آن می‌شود. افزایش هیدروژن در پلیمرشدن پروپیلن با  $TiCl_4/EB$ - $TiCl_4/EB$ - $MgCl_2$ -ترامتیل‌بی‌بریدین با کاهش فعالیت را نشان داده است [۳]. برخی از پژوهش‌گران اثر فعال‌سازی هیدروژن را با استفاده از  $TiCl_4/EB/MgCl_2$  [۴، ۵]،  $TiCl_4/MgCl_2$ -فتالات استر [۶-۱۱] و  $TiCl_4/MgCl_2$ -دی‌اتر [۱۲، ۱۳]، به همراه TEA و یک دهنده خارجی مشاهده کردند. چادویک و همکاران [۹]، نشان دادند که بزرگی اثر فعال‌سازی هیدروژن با استفاده از کاتالیست  $TiCl_4/MgCl_2$ -فتالات استر به وسیله نوع آلکوکسی سیلان مورد استفاده به عنوان دهنده خارجی در پلیمرشدن، تحت تأثیر قرار می‌گیرد.

موری و همکاران [۱۴]، اثر هیدروژن را در پلیمرشدن پروپیلن با چهار نوع متفاوت از کاتالیست‌های زیگلر - ناتا شامل  $TiCl_4/EB/MgCl_2$ ،  $TiCl_4/MgCl_2$ -دی‌ایزو بوتیل،  $TiCl_4/EB$ - $TiCl_4/Al(OEt)_3$  و  $TiCl_4/\delta-TiCl_3$  بررسی کردند. در همه موارد افزایش هیدروژن، افزایش فعالیت کاتالیست و کاهش چشمگیر در وزن مولکولی را به دنبال داشت،

(۲) Isotacticity index

جدول ۱- تأثیر هیدروژن روی پلیمرشدن دوغابی پروپیلن.

شماره آزمایش	P <sub>H<sub>2</sub></sub> (bar)	gPP/g cat	فعالیت کاتالیست	(wt%) I.I	(g/10min) MFI	T <sub>m</sub> (°C)	(g/cm <sup>3</sup> ) دانسیته توده
۱	۰	۲۶۵۰		۹۰,۷	۰,۱۱	۱۶۲,۱	۰,۴۶۹
۲	۰,۲۵	۵۴۶۲,۵		۹۵,۵	۱۰,۵	۱۶۵,۱	۰,۴۷۷
۳	۰,۵	۶۶۵۰		۹۸,۶	۲۴,۵۵	۱۶۶,۹	۰,۴۶۱
۴	۱	۳۱۶۷,۵		۹۴,۸	۴۹,۵	۱۶۴,۶	۰,۴۷۲

۱۰۰۰، ۵۰۰۰ و ۲۵۰۰ میکرونی به دست آمد. چگالی توده نیز براساس قیف و ظرف پیشنهاد شده در استاندارد ASTM D 1895 نوع A اندازه گیری شد.

## نتیجه‌ها و بحث

در این پژوهش به منظور بررسی اثر هیدروژن روی سیستم کاتالیستی مورد استفاده و همچنین اثر آن بر روی برخی از ویژگی‌های محصول پلی‌پروپیلن تولیدی، تعدادی آزمایش پلیمرشدن انجام گرفت. شرح آزمایش‌ها و نتیجه‌های به دست آمده در جدول ۱ ارایه شده است. بر اساس نتیجه‌های به دست آمده در جدول ۱ مشاهده می‌شود، افزودن هیدروژن به محیط پلیمرشدن، منجر به افزایش فعالیت کاتالیست و مقدار پلیمر تولیدی شده است. مطابق شکل ۱، تغییرات فعالیت کاتالیست نسبت به فشار هیدروژن یک منحنی محدب را نشان می‌دهد.

افزایش بازده کاتالیست به همراه افزایش هیدروژن به محیط پلیمرشدن، نشان دهنده اثر هیدروژن روی واکنش انتقال زنجیر و فعالیت کاتالیست است. برای تفسیر این اثر سه فرض متفاوت وجود دارد:

- بعد از قرارگیری  $1,2 \text{ bar}$ <sup>(۱)</sup> مونومر در زنجیر در حال رشد، که از لحظه فضایی برای تهیه پلیمر ایزوتاکتیک نامناسب است، رشد زنجیر پلیمر متوقف شده یا کاهش می‌یابد، اما در حضور هیدروژن و با واکنش انتقال زنجیر، این مرکزها دوباره فعال می‌شوند. حضور زنجیر پایانی نرمال بوتیل در پلیمر تهیه شده در حضور هیدروژن به صورت قوی از این فرضیه حمایت می‌کند<sup>(۲)</sup>.
- فرضیه دوم بر اساس فعل شدن دوباره محل های  $\text{Ti}^{2+}$  به وسیله افزایش اکسایشی هیدروژن است (به نظر می‌رسد، در پلیمرشدن پروپیلن غیرفعال است)<sup>(۳)</sup>.

(۱) Buchi

(۲) Melt flow index

در هگزان استفاده و به وسیله سرنگ به رآکتور تزریق شد). پلیمرشدن در فشار ثابت ۱۰ bar از پروپیلن، دمای  $70^\circ\text{C}$  (در شروع واکنش دما پایین‌تر در نظر گرفته شد تا دمای رآکتور در اثر شروع واکنش به بالای  $70^\circ\text{C}$  نرسد اما، بعد از آن واکنش در دمای  $70^\circ\text{C}$  ثابت نگهداری شد) و به ازای فشارهای متفاوتی از هیدروژن انجام شد. مدت زمان هر آزمایش ۹۰ دقیقه و دور همزمان ۵۴۰ RPM انتخاب شد. در پایان زمان مقرر، گازهای باقیمانده از رآکتور خارج و واکنش متوقف شد. در نهایت پلیمر تولید شده، برای مدت ۲۴ ساعت زیر هود و در دمای اتاق خشک شد.

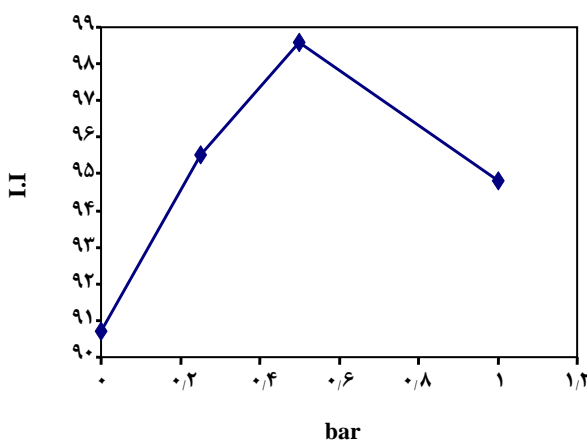
## دستگاه‌ها

در این تحقیق برای پلیمرشدن پروپیلن از یک رآکتور بوچی<sup>(۱)</sup> ضد زنگ مجهز به همزن با حجم ۱/۸ لیتر استفاده شد. برای اندازه گیری شاخص جربان مذاب<sup>(۲)</sup> پلیمر از دستگاه Ceast مدل ۲۰۲۶ ساخت کشور ایتالیا استفاده گردید. برای این کار طبق استاندارد ASTM D 1238 دمای دستگاه  $230^\circ\text{C}$  و وزنه  $2,16\text{ kg}$  انتخاب شد. دمای ذوب پلیمر ( $T_m$ ) به وسیله دستگاه DSC، مدل BAHR Thermo Analyse 302DSC ساخت کشور آلمان با سرعت  $10^\circ\text{C}/\text{min}$  اندازه گیری شد. همچنین توزیع اندازه ذره‌ها، توزیع اندازه حفره‌ها، دانسیته توده و تخلخل ذره‌های کاتالیست به وسیله دستگاه تخلخل سنج با جیوه<sup>(۳)</sup>، مدل PASCAL 140 اندازه گیری شد. شاخص ایزوتاکتیستی با استخراج پلیمر توسط زایلین در حال جوش در سوکسوله به دست آمد.

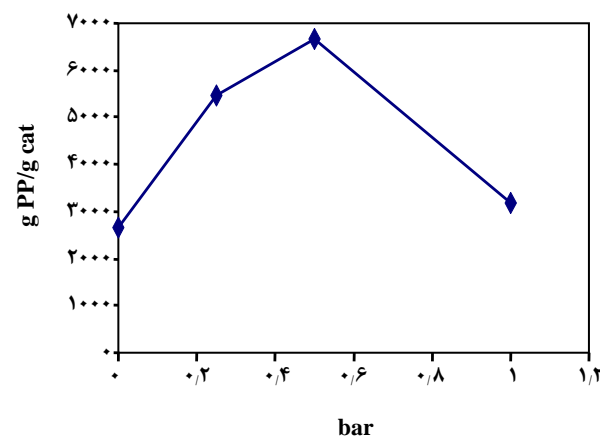
شكل شناسی ذره‌های پلیمر و کاتالیست با میکروسکوپ الکترونی SEM دانشگاه شهید چمران اهواز، مدل VP1455 Leo ساخت کشور آلمان بررسی شد. توزیع اندازه ذره‌های پلیمرهای تولید شده با استفاده از دستگاه تکان دهنده و الکهای  $1180, 1400, 2000$   $\text{kg}$  با استفاده از دستگاه تکان دهنده و الکهای  $1180, 1400, 2000$   $\text{kg}$

(۱) Mercury porosimetry

(۲) 2,1 insertion



شکل ۲- اثر هیدروژن روی شاخص ایزوتابتیسیتی.

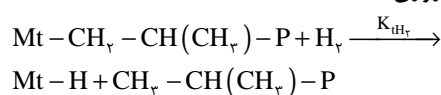


شکل ۱- اثر هیدروژن روی فعالیت کاتالیست.

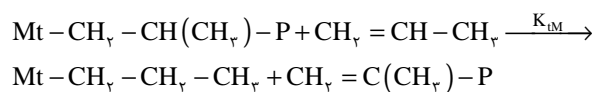
نشان دهنده اثر مثبت واکنش انتقال زنجیر با هیدروژن بر نظم فضایی مرکز فعال فضاییه است. کاهش شاخص ایزوتابتیسیتی با افزایش فشار هیدروژن تا ۱ bar نیز تأیید می‌کند که مقدار هیدروژن در محیط دارای یک حد بهینه است، به طوری که افزودن هیدروژن بیش از این حد، موجب کاهش درصد I.I. می‌شود. افزایش درصد پلیمر قابل حل در زایلین در حال جوش در اثر افزایش فشار هیدروژن نشان دهنده این موضوع است که زیاد بودن غلظت هیدروژن، علاوه بر اینکه فعالیت مرکزها را تحت تأثیر قرار می‌دهد، بر مرکزهای فعال بدون نظم فضایی بیشتر از مرکزهای فعال با نظم فضایی اثر گذاشته و انتقال زنجیر را بر روی آن مرکز بیشتر صورت می‌دهد. به این ترتیب مقدار پلیمر آتاکتیک یا بدون نظم فضایی افزایش پیدا می‌کند.

شکل ۳ اثر هیدروژن را بر شاخص جریان مذاب پلیمرهای به دست آمده در فیشرهای متفاوت هیدروژن نشان می‌دهد. از شاخص جریان مذاب برای ارزیابی وزن مولکولی پلیمر استفاده می‌شود، زیرا رابطه معکوسی با وزن مولکولی پلیمر دارد. اختتام زنجیر پلیمری بیشتر زمان‌ها از طریق واکنش‌های زیر خواهد داشت:

## ۱- انتقال با هیدروژن

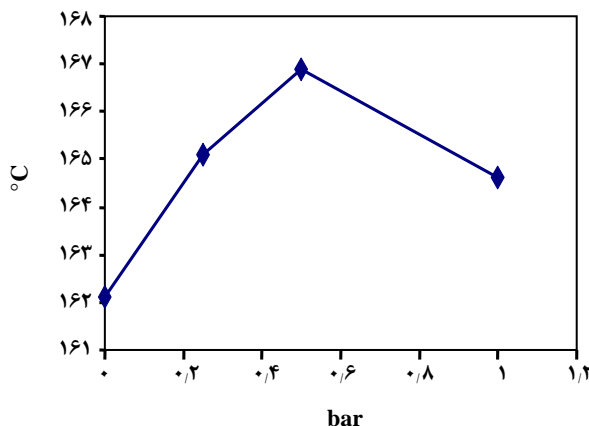


## ۲- انتقال با مونومر



۳- فرضیه دیگر افزایش غلظت محلهای فعال را به وسیله هیدروژن، موجب افزایش بازده پلیمر می‌داند. اما به نظر می‌رسد این فرضیه نادرست است. زیرا مطالعه‌ها نشان می‌دهد که فعالسازی به وسیله هیدروژن به علت افزایش غلظت محلهای فعال نیست [۱۸]، بلکه در عمل غلظت محلهای فعال در حضور هیدروژن کاهش یافته و این ثابت تکثیر است که افزایش می‌یابد. در شروع واکنش پلیمرشدن در حضور هیدروژن (در مقایسه با حالتی که هیدروژن وجود نداشت)، دمای واکنش به سرعت بالا رفت، بنابراین، حضور هیدروژن باعث افزایش سرعت پلیمرشدن پروپیلن و در نتیجه بازده کاتالیست شده است. فعال شدن مجدد مرکزهای غیر فعال به وسیله انتقال زنجیر با هیدروژن، افزایش سرعت پلیمر شدن و در نتیجه افزایش بازدهی کاتالیست را به دنبال دارد. کاهش مشاهده شده در فعالیت کاتالیست در فشار ۱ bar از هیدروژن به غلظت بالای این گاز در محیط مربوط است. این موضوع نشان می‌دهد، با وجود اینکه حضور هیدروژن در فرایند پلیمرشدن منجر به افزایش بازده می‌شود، اما، غلظت آن در محیط هیدروژن که سبب ایجاد واحدهای ایزوپروپیلن-Ti-H می‌شود، به طور طبیعی کاهش در فعالیت کاتالیست را به دنبال دارد [۱۹].

شکل ۲، اثر هیدروژن را بر ایزوتابتیسیتی پلیمرهای به دست آمده نشان می‌دهد. روند مشاهده شده برای شاخص ایزوتابتیسیتی به ازای افزایش فشار هیدروژن، مشابه روند تغییرات فعالیت کاتالیست است. افزایش ایزوتابتیسیتی با افزودن هیدروژن،

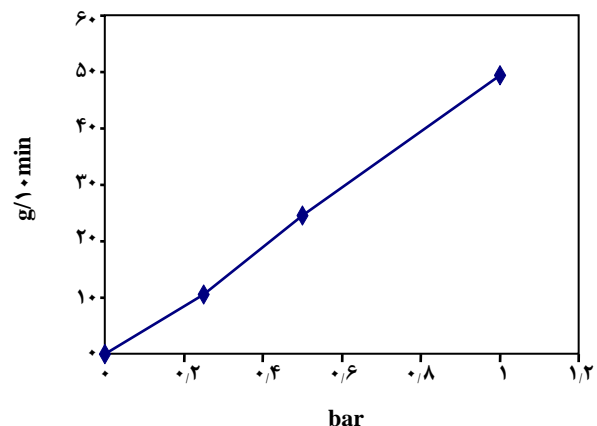


شکل ۴- اثر هیدروژن روی دمای ذوب.

در انتقال زنجیر تأیید می‌کند. زیرا هیدروژن با شرکت در این واکنش، اختتام زنجیر پلیمری را موجب شده و از بالا رفتن وزن مولکولی آن جلوگیری می‌کند. عدم حضور هیدروژن در محیط، پلیمری با وزن مولکولی بالا تولید می‌کند، زیرا فرآیند کارایی برای انتقال به زنجیر وجود ندارد.

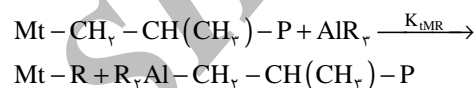
شکل ۴، اثر فشار هیدروژن را روی دمای ذوب پلیمر نشان می‌دهد. مطابق این شکل افزایش فشار هیدروژن در ابتداء، دمای ذوب را افزایش داده، اما با افزایش بیشتر آن دمای ذوب کاهش یافته است.

دمای ذوب پلیپروپیلن افزون بر وزن مولکولی، به ایزوتاكتیسیتی آن نیز وابسته است و ایزوتاكتیسیتی بالا به معنی دمای ذوب بالا است [۲۱]. با وجود اینکه با افزایش هیدروژن، وزن مولکولی پلیمرها کاهش یافته است (مطابق با شکل ۳) و انتظار می‌رود دمای ذوب نیز کاهش یابد اما، مشاهده شده که دمای ذوب افزایش یافته است. پاسخ مناسب برای این تناقض این است که دمای ذوب پلیمرهای تولیدی در این شرایط، بیشتر تحت تأثیر اثر هیدروژن روی ایزوتاكتیسیتی (شکل ۲) و دمای ذوب نشان می‌دهد که روند تغییرات دمای ذوب با روند تغییرات ایزوتاكتیسیتی به ازای افزایش هیدروژن متناسب است. هیدروژن با فعال کردن مرکزهای فعال فضاویژه و افزایش سرعت واکنش در این مرکزها، پلیمرهایی تولید می‌کند که افزون بر بازده از شاخص ایزوتاكتیسیتی بالایی برخوردار هستند. در نتیجه برای ذوب این پلیمرهای منظم به انرژی و دمای بالاتری نیاز است.



شکل ۳- اثر هیدروژن روی شاخص جریان مذاب.

### ۳- انتقال با کمک کاتالیست



در این واکنش‌ها Mt و P به ترتیب فلز واسطه و زنجیر پلیمری و  $\text{K}_{t\text{MR}}$  ثابت‌های سرعت انتقال زنجیر با مونومر، هیدروژن و کمک کاتالیست هستند. انتقال زنجیر با هیدروژن مهمترین عامل کنترل کننده وزن مولکولی پلیمر شناخته شده است، اما در غیاب هیدروژن و تحت شرایط عادی پلیمرشدن، انتقال با مونومر مهمترین فرآیند اختتام زنجیر برای کاتالیست‌های ناهمگن محسوب می‌شود. بنابراین انتقال زنجیر با مونومر، نقش چندانی در پلیمرشدن پروپیلن با کاتالیست‌های ناهمگن نگهداری شده با  $\text{MgCl}_2$  در دمای عادی پلیمرشدن و در حضور هیدروژن ندارد. مقدارهای  $\text{K}_{t\text{M}}$  برای کاتالیست‌های نگهداری شده با  $\text{MgCl}_2$  بیشتر است. برای کاتالیست‌های نگهداری شده با  $\text{MgCl}_2$  سرعت انتقال زنجیر با مونومر با کاهش فضائگرینی کاتالیست افزایش می‌یابد و مستقل از دمای پلیمرشدن می‌شود. انتقال زنجیر با کمک کاتالیست نقش به نسبت کمی بازی می‌کند، فقط وقتی که  $\text{Zn}(\text{CH}_2\text{CH}_2)_2$  به عنوان کمک کاتالیست استفاده می‌شود، مهمترین واکنش اختتام می‌باشد. بنابراین، کاراترین فرآیند اختتام، انتقال زنجیر با هیدروژن است [۲۰].

مطابق شکل ۳ و با توجه به رابطه معکوس میان وزن مولکولی و شاخص جریان مذاب، افزایش فشار هیدروژن منجر به افزایش شاخص جریان مذاب شده است، که نشان دهنده کاهش وزن مولکولی پلیمر می‌باشد. این روند نقش اساسی هیدروژن را

گاز هیدروژن از دیگر پلیمرهای تولیدی کمتر است. در حقیقت، افزایش هیدروژن به سیستم موجب درشت‌تر شدن اندازه ذره‌های پلیمر تولیدی شده است که نشان دهنده اثر فعال‌سازی کاتالیست در حضور هیدروژن می‌باشد.

با توجه به شکل ۵ نمودارهای توزیع اندازه ذره‌های پلیمرهای تولیدی در حضور هیدروژن از دو پیک برخوردار هستند. این پدیده، این فرض را تقویت می‌کند که شاید، ذره‌های پلیمر در شروع پلیمرشدن دچار شکست شده‌اند. برای رسیدن به پاسخ صحیح، در مورد درستی یا نادرستی این فرض، توزیع اندازه ذره‌های کاتالیست با استفاده از روش تخلخل سنجی با جیوه اندازه‌گیری شد. شکل ۶ توزیع اندازه ذره‌های کاتالیست اندازه‌گیری شده با این روش را نشان می‌دهد.

مطابق با شکل ۶، توزیع اندازه ذره‌های کاتالیست نیز دارای دو پیک است. بنابراین، فرض شکست ذره‌های پلیمری درحال تشکیل در شروع پلیمرشدن نادرست می‌باشد. شباهت توزیع اندازه ذره‌های پلیمر و کاتالیست از نظر کیفی، نشان دهنده وقوع پدیده‌ای به نام پدیده تکرار<sup>(۱)</sup> است. در شرایط ویژه پلیمرشدن، با استفاده از کاتالیست‌های ویژه، مورفوژوژی و توزیع اندازه ذره‌های کاتالیست می‌تواند با رشد ذره در طول پلیمرشدن تکرار شود. با توجه به نمودارهای توزیع اندازه ذره‌های پلیمرهای تولیدی و ذره‌های کاتالیست، وقوع این پدیده به طور واضح در این آزمایش‌ها نتیجه می‌شود. همچنین عکس‌های SEM گرفته شده از ذره‌های کاتالیست (شکل ۷)، نشان می‌دهد که این ذره‌ها از نظر اندازه در یک محدوده قرار ندارند و این تأکیدی بر مشاهده دو پیک در منحنی توزیع اندازه ذره‌ها می‌باشد.

مطابق با این تصویرها، ذره‌های کاتالیست ذره‌هایی کروی هستند. قطر هر ذره کاتالیست به تقریب ۲۰ تا ۶۰ میکرون است. ذره‌های کاتالیستی کوچک چسبیده به ذره‌های بزرگتر در این شکل قابل توجه هستند، زیرا در مورفوژوژی نهایی ذره‌های پلیمری تأثیر دارند. شکل ۸ ذره‌های پلیپروپیلن تولید شده را در شرایط متفاوت از نظر فشار هیدروژن نشان می‌دهد. از آنجا که پلیمر روی سطح کاتالیست رشد می‌نماید و آن را کپسوله می‌کند، کاتالیست می‌باشد که بخش از محصول باشد. پدیده تکرار نیز در اینجا به روشنی قابل مشاهده است، زیرا که ذره‌های پلیمر نیز همانند ذره‌های کاتالیستی، کروی هستند. در بیشتر تصویرها، ذره‌های پلیمر به هم چسبیده مشاهده می‌شوند. این کره‌های پلیمری

### مورفوژوژی ذره‌ها و اثر هیدروژن

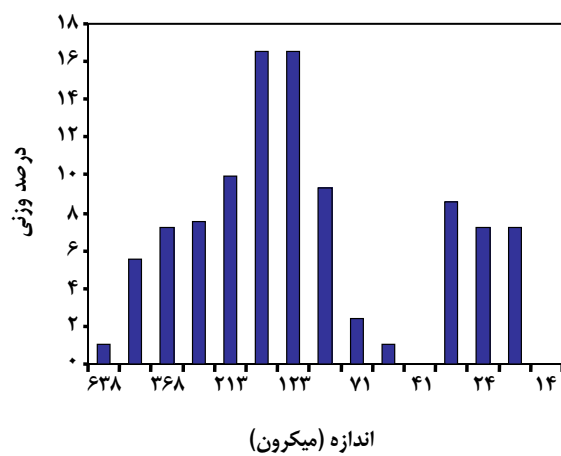
در این مقاله، مورفوژوژی ذره‌ها به وسیله سه عامل دانسیته توده، توزیع اندازه ذره‌ها و عکس‌های SEM بررسی شده است. پلیمری از مورفوژوژی مناسب برخوردار است که دارای ذره‌های کروی، تخلخل کنترل شده و توزیع باریک اندازه ذره‌ها باشد. کنترل مورفوژوژی و به دست آوردن دانه‌های پلیمری به طور مستقیم از رآکتور با اندازه مناسب از هدف‌های پژوهش‌گران در توسعه فناوری تولید پلیپروپیلن است.

دانسیته توده به صورت جرم ذره‌های یک محصول پلیمری به کل حجمی که آن ذره‌ها اشغال می‌کنند، تعریف می‌شود. حجم کل، شامل حجم ذره‌ها، حجم فضای خالی بین ذره‌ها و حجم حفره‌های داخلی است. دانسیته توده جزء ویژگی‌های ذاتی یک ماده نیست و مقدار آن می‌تواند بسته به شرایط اندازه‌گیری، متفاوت باشد. بر اساس نتیجه‌های به دست آمده از جدول ۱ مشاهده می‌شود که روند خاصی بین تغییرات فشار هیدروژن و دانسیته توده وجود ندارد. از این‌رو، به نظر می‌رسد که در پلیمرشدن پلیپروپیلن، هیدروژن اثر معینی روی دانسیته توده ندارد. اما، در مجموع این داده‌ها از مقدارهای بالا و قابل قبولی برخوردار هستند. لازم به ذکر است، که افزایش دانسیته توده به دو دلیل عمده اتفاق می‌افتد: متراکم بودن ذره‌های تولید شده و تخلخل کم درون ذره‌ها و توزیع اندازه ذره‌ها، به طوری که هنگام پرسدن ظرف، فضای خالی بین ذره‌ها باقی نماند.

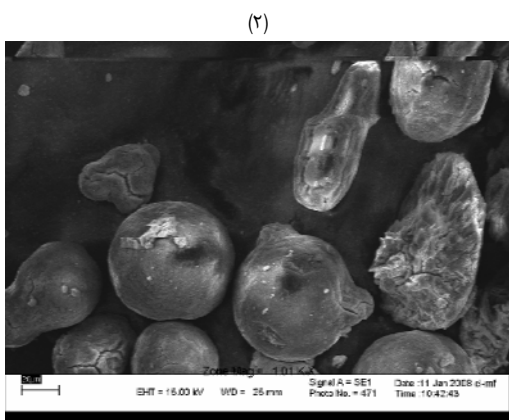
باید توجه کرد که با وجودی که ذره‌های پلیمر تولیدی در غیاب هیدروژن دارای دانسیته توده بالا می‌باشند، اما از آنجا که توزیع اندازه ذره‌های آن پهن است (با توجه به شکل ۵)، از نظر مورفوژوژی تأیید نمی‌شود. زیرا در این نمونه درصد ذره‌های بسیار ریز، زیاد است، به طوری که هنگام اندازه‌گیری و ریخته شدن در ظرف، ذره‌های ریز فضای بین ذره‌های بزرگ را پر کرده و موجب افزایش دانسیته توده می‌شود.

توزیع اندازه ذره‌های پلیمرهای تولیدی در شکل ۵ نشان داده شده است. توزیع اندازه ذره‌های پلیمرهای به دست آمده نشان می‌دهد که مقدار ذره‌های ریز در محدوده ۵۰۰ میکرون و کمتر از آن، بسیار اندک و ناچیز است. این موضوع نشان دهنده طراحی مناسب کاتالیست و شکست کنترل شده آن می‌باشد. البته درصد ذره‌های ریز در پلیمری که در غیاب هیدروژن تولید شده است، بیشتر می‌باشد. همچنین، سهم ذره‌ها با اندازه بیشتر از ۱۰۰۰ میکرون، در غیاب

(۱) Replication



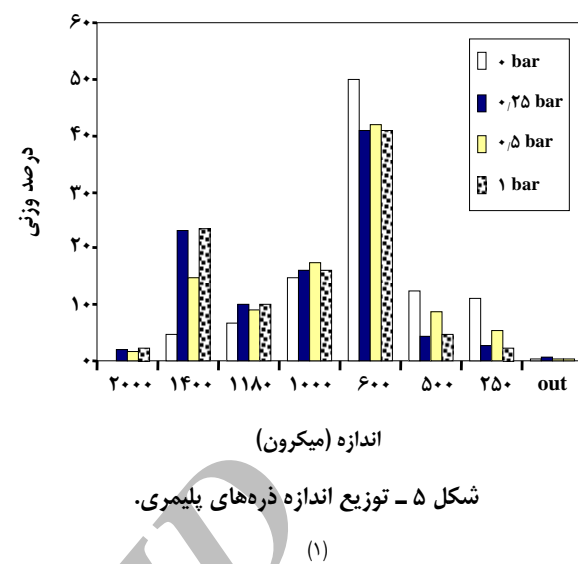
شکل ۶- توزیع اندازه ذره‌های کاتالیست.



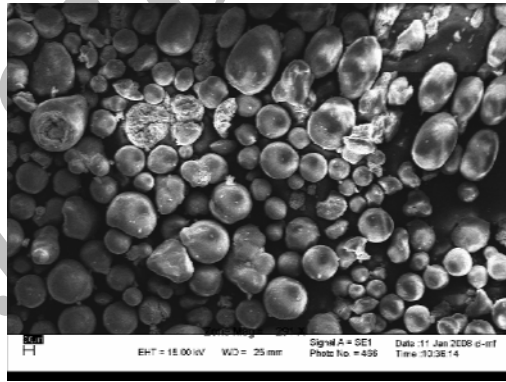
شکل ۷- مورفولوژی ذره‌های کاتالیست: (۱) توزیع اندازه ذره‌ها، (۲) ذره‌های ریز چسبیده به ذره‌های کاتالیست.

نسبت به دیگر نمونه‌ها، ترک‌هایی را در سطح برخی از ذره‌ها خود نشان می‌دهد. البته نمی‌توان به طور قطع این ترک‌ها را به عدم حضور هیدروژن در محیط پلیمرشدن و یا سطح صاف دیگر نمونه‌ها را به حضور هیدروژن نسبت داد. ولی از آنجا که تفاوت این نمونه‌ها تنها مربوط به حضور و عدم حضور هیدروژن می‌باشد، به احتمال فراوان ایجاد این مورفولوژی سطحی خاص را می‌توان با نبود هیدروژن در محیط مرتبط دانست. ویژگی‌های سطح ذره‌ها به مرحله شکست کاتالیست و رشد ذره مربوط است. رفتار شکست کاتالیست هم به سرعت واکنش وابسته می‌باشد [۲۲]. از آنجا که هیدروژن عاملی است که روی سرعت واکنش تأثیر می‌گذارد [۲۳] و موجب افزایش سرعت واکنش پلیمرشدن به ویژه در مرحله‌های آغازین آن می‌شود، از تأثیر آن روی مورفولوژی سطح ذره‌ها نمی‌توان صرف نظر کرد. سرعت اولیه بالای پلیمرشدن در حضور هیدروژن منجر به افزایش سریع فشار هیدرولیک و در نتیجه

(۱) Core-shell

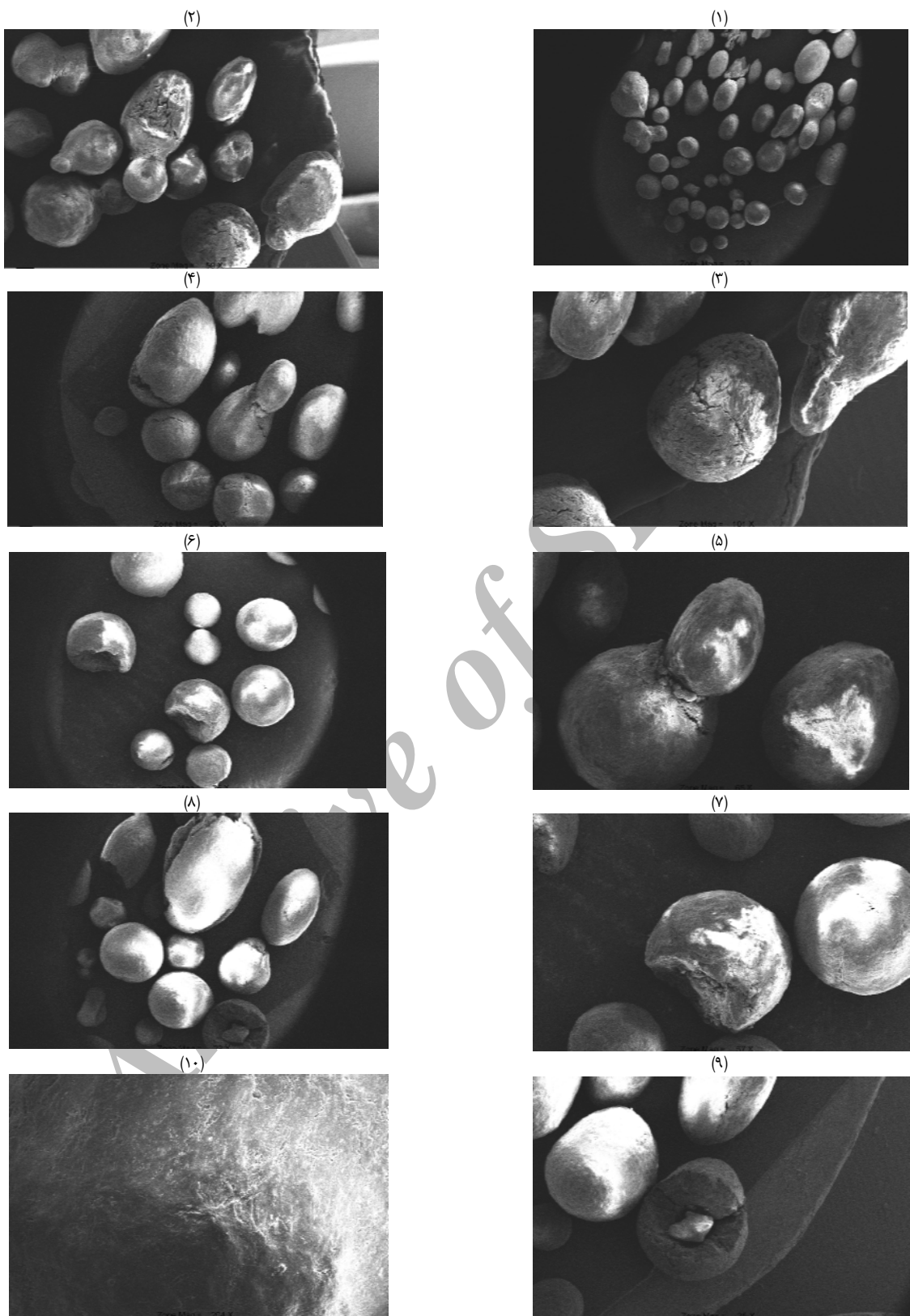


شکل ۵- توزیع اندازه ذره‌های پلیمری.



اندازه یکسانی ندارند و به طور معمول یکی چند برابر دیگری است. این نوع مورفولوژی با نام ذره‌های هسته - پوسته<sup>(۱)</sup> شناخته می‌شود. یک ذره با مورفولوژی هسته - پوسته، دارای دو ذره بزرگ و کوچک است، که ذره بزرگتر ذره کوچکتر را در بر می‌گیرد. تصویر (۵) از شکل ۸ این نوع از مورفولوژی را به طور واضح نشان می‌دهد.

ذره کوچکتر هیچگاه در مرکز ذره بزرگ واقع نمی‌شود و به همین دلیل به این ساختارها هسته - پوسته نامتقارن می‌گویند. در واقع منشأ ایجاد این نوع از مورفولوژی، ذره‌های کوچک کاتالیستی چسبیده به ذره‌های بزرگتر می‌باشند، که در بالا نیز به آنها اشاره شد. در هنگام پلیمرشدن، ذره چسبیده به کاتالیست هم رشد می‌کند، ولی رشد سریعتر ذره بزرگتر بر ذره کوچکتر غالب است و همین موضوع باعث می‌شود که ذره بزرگتر، ذره کوچکتر را در برگیرد. مورفولوژی سطح ذره‌ها در چهار پلیمر تولید شده، به تقریب صاف است، فقط نمونه ای که در غیاب هیدروژن تهیه شده،



شکل ۸ - تصویرهای (۱)، (۲) و (۳) مربوط به پلیمرهای تولیدی در غیاب هیدروژن، تصویرهای (۴) و (۵) در  $P=0,25 \text{ bar}$  و (۶) در  $P=1 \text{ bar}$  و (۷) در  $P=0,5 \text{ bar}$ ، (۸)، (۹) و (۱۰) در  $P=0 \text{ bar}$ .

کوتاه شدن طول زنجیر پلیمری و کاهش وزن مولکولی پلیمر به دست آمده شده، که نتیجه آن با افزایش مقدار ساخته جریان مذاب قابل مشاهده است. دمای ذوب پلیمرها به وزن مولکولی و ایزوتاکتیسیتی آنها وابسته است. اما، از آنجا که روند مشاهده شده برای دمای ذوب پلیمرها به ازای افزایش هیدروژن مشابه به روند ایزوتاکتیسیتی است، می‌توان نتیجه گرفت که در اینجا عامل تعیین کننده دمای ذوب پلیمرها، درصد ایزوتاکتیسیتی آنهاست.

ذره‌های پلیمر تولیدی در حضور هیدروژن از توزیع اندازه باریکتری برخوردار هستند و درصد ذره‌های ریز در آنها (نسبت به ذره‌های پلیمر تولید شده در غیاب هیدروژن) کمتر است. نمودار توزیع اندازه ذره‌های پلیمرها دو پیک را نشان می‌دهد. از آنجا که نمودار توزیع اندازه ذره‌های کاتالیست نیز از دو پیک برخوردار است، رخداد پدیده تکرار نتیجه می‌شود.

عکس‌های SEM گرفته شده از ذره‌های پلیمر و کاتالیست نشان می‌دهد که ذره‌های پلیمر به دست آمده همانند ذره‌های کاتالیست، کروی هستند. این موضوع نیز وقوع پدیده تکرار را در مورد این سیستم کاتالیستی تأیید می‌کند. همچنین، پلیمرها مورفولوژی هسته – پوسته را نشان دادند که ناشی از رشد همزمان پلیمر بر روی ذره‌های کوچک چسبیده به ذره‌های بزرگتر کاتالیستی است. برخی ذره‌های پلیمر تولیدی در غیاب هیدروژن ترک‌هایی را در سطح خود نشان می‌دهند، در حالی که سطح ذره‌های تولید شده در حضور هیدروژن صاف و یکدست است. رخدان این پدیده سطحی به دلیل تأثیر هیدروژن روی سرعت واکنش پلیمرشدن و در نتیجه مرحله شکست ذره‌های کاتالیست می‌باشد.

### تشکر و قدردانی

بدین وسیله از شرکت پتروشیمی بندر امام و به ویژه اعضای محترم مرکز پژوهش این شرکت به خاطر فراهم آوردن امکانات لازم برای انجام آزمایش‌ها و داشکده شیمی و معاونت پژوهشی دانشگاه تربیت معلم (تهران) به خاطر فراهم آوردن زمینه‌های لازم برای ارتباط با صنعت پتروشیمی تشکر و قدردانی می‌نماید.

موجب افزایش تعداد ذره‌های شکسته شده کاتالیست می‌شود. می‌توان فرض کرد که با رشد همزمان این اجزا، فضای خالی کمی بین آنها باقی می‌ماند و در نهایت سطح ذره صاف و بدون ترک خواهد بود [۲۴]. در غیاب هیدروژن سرعت پلیمرشدن کمتر و تعداد قطعه‌های شکسته شده کاتالیست هم کم خواهد بود. هر تکه نیز با رشد ذره‌های پلیمر در مرکزهای فعال خود بزرگتر شده و احتمال شکست دوباره آن وجود دارد تا در نهایت ذره پلیمر نهایی شکل گیرد. در این حالت شکست کاتالیست در مدت زمان بیشتری صورت می‌گیرد و رشد ناهمانگ ذره‌های کاتالیست موجب ایجاد فضای خالی در ذره و در نتیجه سطح متخلخل و ترک‌دار ذره‌ها می‌شود.

### نتیجه‌گیری

در این مطالعه به بررسی اثر هیدروژن روی یک کاتالیست تجاری زیگلر – ناتای نسل چهارم برای پلیمرشدن پروپیلن پرداخته شد. نتیجه‌های به دست آمده از پلیمرشدن در حضور این کاتالیست نشان می‌دهد، که با افزایش هیدروژن به محیط پلیمرشدن فعالیت کاتالیست و در نتیجه بازده پلیمر افزایش یافته است، این افزایش ناشی از فعال شدن مجدد مراکز غیر فعال به وسیله انتقال زنجیر با هیدروژن و افزایش سرعت واکنش است اما، افزودن بیش از حد هیدروژن به محیط به دلیل افزایش رقابت میان هیدروژن و پروپیلن در رسیدن به مراکز فعال، اثر معکوسی را بر این روند دارد، که نتیجه آن کاهش فعالیت کاتالیست است. همچنین، افزایش هیدروژن به محیط منجر به افزایش درصد ایزوتاکتیسیتی شده است. اما، حضور هیدروژن در محیط در فشارهای بالا با فعالسازی بیشتر مرکزهای فعال بدون نظم فضایی کاهش آن را موجب شده است. از این‌رو می‌توان نتیجه گرفت که افزایش هیدروژن به محیط دارای یک حد بهینه است و افزایش بیش از حد موجب می‌شود که سیستم کاتالیستی کارایی کافی را نداشته باشد و کیفیت و کمیت پلیمر به دست آمده کاهش یابد. همچنین، افزایش هیدروژن موجب افزایش انتقال زنجیر و در نتیجه

تاریخ دریافت: ۱۳۸۷/۱۰/۱۴ ، تاریخ پذیرش: ۱۳۸۸/۱۰/۲۱

### مراجع

- [1] Guastalla G., Giannini U., The Influence of Hydrogen on the Polymerization of Propylene and Ethylene with an  $MgCl_2$  Supported Catalyst, *Makromol. Chem., Rapid Commun.*, **4**, p. 519 (1983).

- [2] Soga K., Shiono T., Effect of Hydrogen on the Molecular Weight of Polypropylene with Ziegler-Natta Catalysts, *Polym.Bull.*, **8**, p. 261 (1982).
- [3] Albizzati E., Galimberti M., Giannini U., Morini G., *Makromol.Chem., Makromol. Symp.*, **48/49**, 223, (1991), Cited in Albizzati E., Galimberti M., Catalyst for Olefins Polymerization, *Catalyst today*, **41**, p. 159 (1998).
- [4] Spitz R., Masson P., Bobichon C., Guyot A., Activation of Propene Polymerization by Hydrogen for Improved MgCl<sub>2</sub>-Supported Ziegler-Natta Catalysts, *Makromol. Chem.*, **190**, p. 717, (1989).
- [5] Spitz R., Masson P., Bobichon C., Guyot A., Propene Polymerization with MgCl<sub>2</sub> Supported Ziegler Catalysts: Activation by Hydrogen and Ethylene, *Makromol. Chem.*, **189**, p. 1043 (1988).
- [6] Bukatov G.D., Goncharov V.S., Zakharov V.A., Number of Active Centers and Propagation rate Constants in the Propene Polymerization on Supported Ti-Mg Catalysts in the Presence of Hydrogen, *Makromol. Chem. Phys.*, **196**, p. 1751 (1995).
- [7] Parsons I.W., Al-Turki T.M., *Polym. Commun.*, **30**, p. 72 (1989). Cited in Mori H., Endo M., Terano M., Deviation of Hydrogen Response During Propylene Polymerization with Various Ziegler–Natta Catalysts, *J. Molec. Catal. A*, **145**, p. 211 (1999).
- [8] Chadwick J.C., Miedema A., Sudmeijer O., Hydrogen Activation in Propene Polymerization with MgCl<sub>2</sub>-Supported Ziegler-Natta Catalysts: the Effect of the External Donor, *Macromol. Chem. Phys.*, **195**, p. 167 (1994).
- [9] Chadwick J.C., Kessel G.M.M.V., Sudmeijer O., Regio- and Stereospecificity in Propene Polymerization with MgCl<sub>2</sub>-Supported Ziegler-Natta Catalysts: Effects of Hydrogen and the External Donor, *Macromol. Chem. Phys.*, **196**, p. 1431 (1995).
- [10] Balbontin G., Mingozzi I., Albizzati E., Sudmeijer O., Propene Polymerization with MgCl<sub>2</sub>-Supported Catalysts: Effects of Using a Diether as External Donor, *Macromol. Chem. Phys.*, **198**, p. 1181 (1997).
- [11] Kojoh S., Kioka M., Kashiwa N., Itoh M., Mizuno A., A Study of Chain-End Structures of Polypropylene Prepared with MgCl<sub>2</sub>-Supported Titanium Catalyst, *polymer*, **36**, p. 5015 (1995).
- [12] Chadwick J.C., Morini G., Albizzati E., Balbontin G., Mingozzi I., Cristofori A., Aspects of Hydrogen Activation in Propene Polymerization Using MgCl<sub>2</sub>/TiCl<sub>4</sub>/diether Catalysts, *Macromol. Chem. Phys.*, **197**, p. 2501 (1996).
- [13] Albizzati E., Giannini U., Morini G., Galimberti M., Barino L., Scordamaglia R., *Makromol. Chem., Makromol. Symp.*, **89**, p. 73 (1995). Cited in Mori H., Endo M., Terano M., Deviation of Hydrogen Response During Propylene Polymerization with Various Ziegler–Natta Catalysts, *J. Molec. Catal. A*, **145**, p. 211 (1999).
- [14] Mori H., Endo M., Terano M., Deviation of Hydrogen Response During Propylene Polymerization with Various Ziegler-Natta Catalysts, *J. Molec. Catal. A*, **145**, p. 211 (1999).

- [15] Chadwick J.C., Miedema A., Sudmeijer O., Hydrogen Activation in Propene Polymerization with MgCl<sub>2</sub>-Supported Ziegler-Natta Catalysts: the Effect of the External Donor, *Makromol. Chem.*, **195**, p. 167 (1994).
- [16] Busico V., Corradini P., Hydroooligomerization of Propene: a Fingerprint of a Ziegler-Natta Catalyst, 1. Preliminary Results for MgCl<sub>2</sub>-Supported Systems, *Makromol. Chem. Rapid Commun.*, **13**, p. 15 (1992).
- [17] Chien J.C.W., Nozaki T., High Activity Magnesium Chloride Supported Catalysts for Olefin Polymerization. XXIX. Molecular Basis of Hydrogen Activation of Magnesium Chloride Supported Ziegler-Natta Catalysts, *J. Polym. Sci. Part A: Polym. Chem.*, **29**, p. 505 (1991).
- [18] Kissin Y.V., Rishina L.A., Hydrogen Effects in Propylene Polymerization Reactions with Titanium-Based Ziegler-Natta Catalysts. I. Chemical Mechanism of Catalyst Activation, *J. Polym. Sci. Part A: Polym. Chem.*, **40**, p. 1353 (2002).
- [19] Pasquini N., "Polypropylene Handbook, Product Technology market", Hanser Gardner Publication, Italy, pp. 47-67 (2005).
- [20] Pino P., Rotzinger B., von Achenbach E., *Makromol. Chem. Suppl.*, **25**, p. 461 (1985). Cited in Pasquini N., "Polypropylene Handbook, Product Technology market", Hanser Gardner Publication, Italy, pp. 47-67 (2005).
- [21] Gao M., Liu H., Wang J., Li C., Ma J., Wei G., Novel MgCl<sub>2</sub>-Supported Catalyst Containing Diol Dibenzooate Donor for Propylene Polymerization, *Polymer*, **45**, p. 2175 (2004).
- [22] Pater J.T.M., Weickert G., Loos J., Swaaij W.P.M., High Precision Prepolymerization of Propylene at Extremely Low Reaction Rates-Kinetics and Morphology, *Chem. Eng. Sci.*, **56**, p. 4107 (2001).
- [23] Spitz R., Bobichon C., Guyot A., Synthesis of Polypropylene with Improved MgCl<sub>2</sub>-Supported Ziegler-Natta Catalysts, Including Silane Compounds as External Bases, *Makromol. Chem.*, **190**, p. 707 (1989).
- [24] Pir Cheraghi G.H.R., Pour Mahdian S., Vatan Khah M., Study on the Effects of Temperature, Time and the Policy of Prepolymerization on Particle Morphology in Propylene Slurry Polymerization with Heterogeneous Ziegler-Natta Catalysts, *Iranian Journal of Polymer Science and Technology*, **89**, p. 417 (2008).